

Trichoderma koningii에서 분리한 β -glucosidase의 작용양상

정춘수* · 최지영 · 이현주¹ · 맹필재² · 한인섭 · 강사록¹ · 하영칠¹

울산대학교 생명과학부, ¹서울대학교 미생물학과, ²충남대학교 미생물학과

Trichoderma koningii ATCC 26113에서 분비되는 효소인 β -glucosidase를 cellobiose, sophorose, laminaribiose 및 gentiobiose 등의 기질과 반응시킨 후 효소의 transglycosylation 반응 산물을 분석하였다. 각각의 기질로부터 생성된 이당체(dimer)들을 HPLC로 분리하고 ¹H-NMR spectroscopy를 통하여 분석하였다. Cellobiose를 기질로 사용하여 효소와 반응시켰을 때 그 산물에는 laminaribiose, sophorose 및 gentiobiose가 포함되었음을 확인할 수 있었다. Laminaribiose, sophorose 및 gentiobiose를 기질로 사용하였을 경우에 효소는 transglycosylation 반응을 통하여 새로운 β -glycosidic 결합을 갖는 이당체들을 생성하였다. 효소반응에 의하여 누적되는 이당체의 양은 생성속도보다는 분해속도에 의하여 결정되는 것으로 나타났다.

Key words □ β -glucosidase, *Trichoderma koningii*, transglycosylation

β -glucosidase는 cellobiose와 celooligosaccharide에 작용하여 포도당을 생성하는 효소로서 많은 미생물에서 분리되어 연구되었다(1,6,9,17,19). 이 효소의 섭유소 분해에서의 기능은 cellulase들이 생성하는 cellobiose를 제거하여 산물을 위한 효소 저해를 제거하는 것으로 이해되고 있다(21,25). 일부의 수용성 다당류 cellobiose, acetyl cellobiose, thiocellobiose, gentiobiose, thiogentiobiose 및 sophorose 등은 많은 곰팡이의 cellulase 유도물질로 알려져 있다(7,11,14,15,16,18,20,21). 이 중에서 두 분자의 포도당의 β -1,2-결합으로 이루어진 sophorose는 *Trichoderma* 속에서 가장 강력한 유도물질로 보고되었다(14,16,20). 그러나 cellulose로부터 sophorose가 생성되는 방법에 대하여는 정확히 알려지지 않았다. Vaheri 등(22)은 cellulase와 cellulose를 반응시켜 sophorose가 생성됨을 보여주었으나, cellulase 복합체중 어느 성분이 이를 생성하는지를 보여주지 못했다. Gusakov 등(5)은 *Aspergillus foetidus*에서 분리한 β -glucosidase가 cellobiose로부터 β -1,6 결합을 갖는 다당류를 분리 보고하였고, Watanabe 등(23)은 β -1,6 결합을 갖는 삼당체(trimer)인 4-O- β -gentiobiosylglucoside를 β -glucosidase 산물로 보고하였다. 이외에도 β -glucosidase의 transglycosylation에 대하여 많은 보고들이 있었으나, 그 산물이 정확히 분석되지는 않았다(1,8, 17,19,21,24).

본 논문에서는 *Trichoderma koningii*에서 분리된 β -glucosidase와 4종류의 β -linked 이당체(cellobiose, sophorose, laminaribiose, gentiobiose)를 반응시키고, 그 산물 중 이당체(dimer)를 HPLC와 ¹H-NMR spectroscopy를 사용하여 분석함으로써 이 효소의 transglycosylation 반응을 정확히 이해하고자 하였다.

*To whom correspondence should be addressed
Tel: 052-259-2358, Fax: 052-259-1694
E-mail: csjeong@uos.ulsan.ac.kr

재료 및 방법

시약

Cellobiose, sophorose, laminaribiose, gentiobiose, p-nitrophenyl-D-glucoside(PNPG), 및 D₂O는 Sigma Chem. Co.(St. Louis, USA)에서, acetonitrile은 Merck(Darmstadt, Germany)에서 구입하였다.

효소 활성 측정

효소반응은 500 μ l의 2 mM PNPG 와 480 μ l의 50 mM 초산 완충용액(pH 5.0) 및 20 μ l의 효소용액을 섞은 후 30분 동안 40°C에서 반응시키고, 2 ml의 1 M sodium carbonate를 넣어 반응을 멈추었다. 10 ml의 증류수를 첨가한 후 A₄₂₀에서 흡광도를 측정하였다. 효소활성단위는 표준반응조건에서 1 μ mole PNP min⁻¹를 생성하는 효소양으로 정하였다.

효소의 분리

효소의 분리는 이미 보고한 바와 같이 gel-filtration, DEAE-Sephadex A-50, 전기영동에 의하여 이루어졌다(13). 먼저 *T. koningii* ATCC 26113 18 L를 배양한 후 Bio-Gel P-150, gel filtration(50 mM 초산 완충용액, pH 5.0, 2.5×100 cm)에 의하여 분리하였다. 저분자량 β -glucosidase 부위를 농축한 후(PM 10 membrane; Amicon), 인산완충용액(pH 7.0, 20 mM)으로 교환하고 이를 DEAE-Sephadex A-50 column(2.5×50 cm)에 적하한 후 동일한 완충용액으로 용출하였다. 이를 농축한 후 분취 전기영동에 의하여 분리하였다. 분취 전기영동용 gel은 T=10%, C=2.7%인 평판 gel을 사용하였다. 전개 후 β -glucosidase band는 esculine과 ferric chloride를 이용한 활성염색에 의하여 확인하였고(12), 효소는 gel을 분쇄하여 용출하였다. Escurline과 ferric chloride는 초산완충용액(50 mM, pH 5.0)에 투석하여 제

거하였다.

HPLC에 의한 분석

Cellobiose, sophorose, laminaribiose 및 gentiobiose를 초산 완충용액(10 mM, pH 5.0), 40°C에서 효소와 반응시켰다. 적절한 시간 간격으로 시료를 채취하여 Gum과 Brown의 방법(4)에 따라 분석하였다. NH₂-column(Waters Associates)을 사용하였으며, acetonitrile 80%를 용매로 하여 1.5 ml min⁻¹ 속도로 용출하였고, RI 검출기(Waters R 401)를 이용하여 검출하였다.

¹H-NMR spectroscopy

¹H-NMR spectroscopy를 위하여 각각의 기질을 5 ml의 최종 부피로(100 mM 기질, 0.59 U 효소, 10 mM 초산완충용액, 40°C) 5-20 시간(cellobiose 20 hr, sophorose 5 hr, laminaribiose 5 hr, gentiobiose 16 hr) 반응시킨 후, 반응산물을 HPLC로 분리하였다. 분리된 시료는 rotary vacuum evaporator와 speed vac concentrator를 이용하여 농축한 후 다시 HPLC로 분리하였다. 분리된 시료를 speed vac concentrator를 이용하여 다시 농축한 후, P₂O₅가 포함된 desiccator에서 2일 동안 진공 건조하였다. 이를 D₂O(99.9 atom % deuterium)에 녹이고 건조하는 과정을 2회 실시하여 당의 proton을 deuterium으로 교환한 후 0.5 ml D₂O에 녹였다. NMR 분석은 서울대학교 기초과학지원연구소에 의뢰하여 Bruker AMX 500(5 mm tube, 303 K)으로 분석하였다. 4 종류의 표준당의 chemical shift(δ)와 relative coupling constant ($J_{1,2}$) 값은 다음과 같았다: cellobiose [α -anomer; C _{α} -H-1 _{α} , 5.23 ppm ($J_{1,2}$, 3.8 Hz); C _{α} -H-1 _{β} , 4.52 ($J_{1,2}$, 7.9), β -anomer; C _{β} -H-1 _{β} , 4.67 ($J_{1,2}$, 8.0); C _{β} -H-1 _{β} , 4.52 ($J_{1,2}$, 7.9)], sophorose [α -anomer; S _{α} -H-1 _{α} , 5.45 ($J_{1,2}$, 3.7); S _{α} -H-1 _{β} , 4.64 ($J_{1,2}$, 8.0), β -anomer; S _{β} -H-1 _{β} , 4.80; ($J_{1,2}$, 8.0); S _{β} -H-1 _{β} , 4.73 ($J_{1,2}$, 8.0)], laminaribiose [α -anomer; L _{α} -H-1 _{α} , 5.25 ($J_{1,2}$, 3.8); L _{α} -H-1 _{β} , 4.72 ($J_{1,2}$, 8.0), β -anomer; L _{β} -H-1 _{β} , 4.74 ($J_{1,2}$, 8.0); L _{β} -H-1 _{β} , 4.68 ($J_{1,2}$, 8.0)], gentiobiose [α -anomer; G _{β} -H-1 _{α} , 5.24 ($J_{1,2}$, 3.8); G _{α} -H-1 _{β} , 4.50, β -anomer; G _{β} -H-1 _{β} , 4.67 ($J_{1,2}$, 8.0); G _{β} -H-1 _{β} , 4.52 ($J_{1,2}$, 8.0)] (see Fig. 5). 이 값들은 Bryun 등(4)이 보고한 것과 거의 일치하였다.

결과 및 고찰

효소의 분리

18 l 배양액으로부터 40.8 units의 효소를 분리하였으며, SDS-PAGE 및 analytical isoelectric focusing gel에서 순수도를 확인하였다. 이 결과는 이미 보고한 바와 같다(13).

이당체(dimer) 산물의 transglycosylation 분석

Cellobiose, sophorose, laminaribiose 및 gentiobiose를 기질로 사용하여 β -glucosidase와 반응시킨 결과 가수분해산물과 transglycosylation 산물을 모두 검출할 수 있었다. Cellobiose 반응의 경우(Fig. 1a) 기수분해 산물인 포도당 외에 gentiobiose로

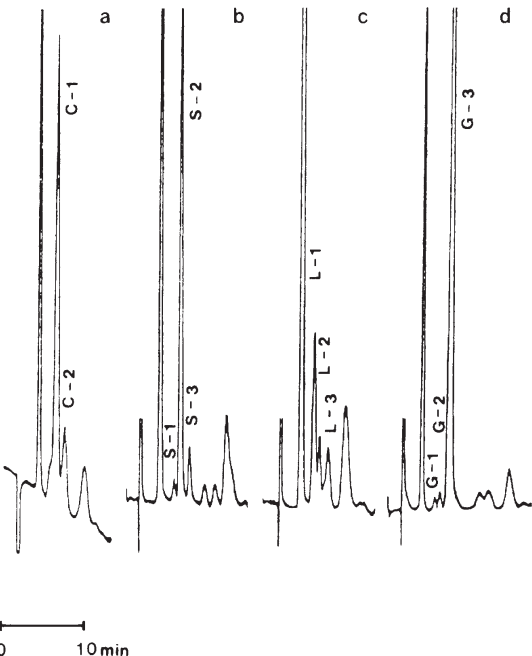


Fig. 1. HPLC analysis of reaction products formed by β -glucosidase from different substrates. Substrates and reaction time: (a) cellobiose; 7.0 hrs, (b) sophorose; 1.5 hrs, (c) laminaribiose; 5.0 hrs, (d) gentiobiose; 3.0 hrs. Reaction mixture: substrate (100 mM)+enzyme (0.59 units ml⁻¹).

추정되는 peak(C-2로 표시)가 시간이 지남에 따라 증가하였다. Cellobiose 위치(C-1으로 표시) 앞에도 작은 peak가 나타났는데, 이는 laminaribiose로 추정되었지만 양이 너무 적어 분리하지 않았다. 분석에 사용한 HPLC 조건에서는 sophorose와 cellobiose가 겹치기 때문에 sophorose의 생성여부는 확인하지 못하였다. Fig. 1b에는 sophorose(S-2)를 기질로 사용하였을 경우 생성되는 산물을 나타내었는데, 적어도 2 종류의 새로운 이당체가 생성되었다(S-1, S-3). Laminaribiose(L-1)와 gentiobiose(G-3)의 경우에도 각각 2 종류의 새로운 이당체가 HPLC 상에서 분리되었고 이를 각각 L-2, L-3 및 G-1, G-2로 표시하였다(Fig. 1c 와 1d). 모든 경우에서 1 종류 이상의 삼당체(trimer)가 검출되었는데, 이에 대한 분석은 행하지 않았다.

Fig. 2a, 2b 및 2c에 나타낸 것처럼 gentiobiose라고 추정되는 peak(C-2, S-3 및 L-3)는 지속적으로 증가하였다. 다른 이당체들은 비교적 소량이 생성되었으며, 일정한 시간이 지난 후에는 그 양이 더 이상 증가하지 않았다. 포도당(100 mM)을 transglycosylation 반응의 수용체로 첨가한 경우에는 이당체들의 생성이 증가하였다. sophorose에 포도당을 첨가하여 반응시킨 결과 각각 laminaribiose와 gentiobiose로 추정되는 이당체, S-1과 S-3들이 반응 1 시간 후에는 유사한 양이 생성되었으나, 3시간 후에는 S-3의 생성량이 S-1에 비하여 현저히 많아졌다(Fig. 3a와 3b). Gentiobiose를 포도당이 포함된 상태에서 반응시킨 결과 반

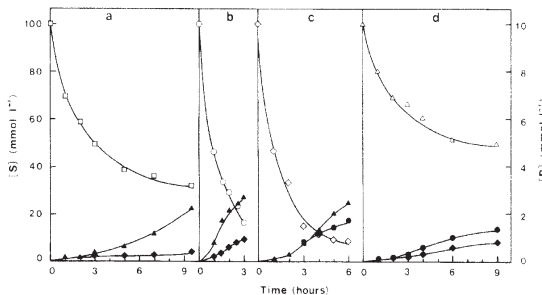


Fig. 2. Change of the concentration of reaction products formed by the action of β -glucosidase. Substrates: (a) cellobiose, (b) sophorose, (c) laminaribiose, (d) gentiobiose. Observed values: Substrates: □; cellobiose, ○; sophorose, ◇; laminaribiose, △; gentiobiose. Products: ●; cellobiose and sophorose, ◆; laminaribiose, ▲; gentiobiose

용 초기에는 G-2가 G-1의 2배 정도 생성되었고, 반응이 지속됨에 따라 G-2의 양이 더욱 많이 누적되었다(Fig. 3c와 3d). G-2는 sophorose와 cellobiose의 혼합물로, G-1은 laminaribiose로 추정되었다. Wood와 McCrae(24)의 보고에 따르면 이 효소에 의한 laminaribiose와 sophorose의 분해속도가 cellobiose보다 빠르고, gentiobiose의 분해 속도가 가장 느리다. 본 실험의 결과는 이러한 분해속도의 차이와 관련있는 것으로 사료된다. Fig. 2의 transglycosylation 산물인 이당체의 양은 그 생성속도에는 큰 차이가 없으나, 분해속도의 차이에 의하여 누적되는 양이 차이 나는 것으로 판단되었다.

¹H-NMR spectroscopy에 의한 2당류 분석

Fig. 1에 나타난 바와 같이 laminaribiose, cellobiose, sophorose 및 gentiobiose를 기질로 사용하였을 경우 transglycosylation에 의하여 적어도 두 종류의 새로운 이당체가 생성되었는데, 이들은 retention time에 의하여 추정은 가능하였지만 정확한 구조를 알기는 곤란하였다. 특히 cellobiose와 sophorose는 HPLC에 의하여 분리되지 않았기 때문에 확인할 수 없었다. 따라서 cellobiose 반응산물에서 C-1과 C-2, sophorose 산물에서 S-1, S-2 및 S-3, laminaribiose 산물에서 L-2 및 L-3, gentiobiose 산물에서 G-1 및 G-2들을 ¹H-NMR spectroscopy를 통하여 분석하였다.

Fig. 4에 제시한 transglycosylation 반응산물의 ¹H-NMR spectra에 나타난 proton resonance signal(H-1 protons)들의 chemical shifts 값과 coupling constants 값을 표준당의 값과 비교하였다. Cellobiose에서 분리한 C-1(Fig. 4a)의 H-1 protons에서는 세개의 doublets이 각각 5.23($J_{1,2}$ 3.8 Hz), 4.67 및 4.52 ppm ($J_{1,2}$ 8.0 Hz)에 나타났다. 이는 각각 C_α -H-1¹, C_β -H-1¹, 및 $C_{\alpha\beta}$ -H-1²에 해당하였다. 한편 같은 그림에서 5.45, 4.64, 4.80 및 4.73 ppm에서 작은 doublet signal들이 나타났는데, 이는 각각 S_α -H-1¹, S_α -H-1², S_β -H-1¹ 및 S_β -H-1²와 일치하였으며, 5.25, 4.72, 4.74, 및 4.68 ppm에 나타난 doublet signal들은 L_α -H-1¹, L_α -H-1², L_β -H-1¹ 및 L_β -H-1²와 일치하였다. 이러한 결과로부터 C-1은 cellobiose에 미량의 sophorose와

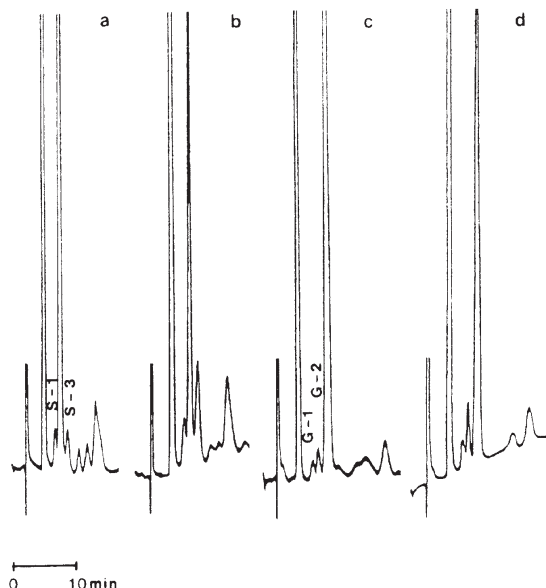


Fig. 3. HPLC analysis of reaction products formed by β -glucosidase from sophorose and gentiobiose in the presence of glucose added as an acceptor. Substrates and reaction time: (a) sophorose; 1.0 hr, (b) sophorose; 5.0 hrs, (c) gentiobiose; 4.5 hrs, (d) gentiobiose; 24 hrs. Reaction mixture: substrate (100 mM)+glucose (100 mM)+enzyme (0.59 units ml^{-1})

laminaribiose가 혼합된 것임을 알 수 있었다. 기질인 cellobiose만을 NMR로 분석하였을 때에는 cellobiose 이외의 당에 대한 signal들이 전혀 검출되지 않았기 때문에 이들 산물은 효소의 transglycosylation 반응에 의하여 생성된 것임을 확인할 수 있었다. Cellobiose 반응 산물 중 C-2에서는 4개의 doublet들이 5.24, 4.50, 4.67 및 4.52 ppm에서 나타나 gentiobiose임을 알 수 있었다. (이 결과는 Fig. 4d의 S-3의 spectrum과 일치하기 때문에 제시하지 않았다.). Laminaribiose에서 분리한 L-2는 cellobiose와 sophorose의 혼합물임을 확인하였고(Fig. 4b), sophorose와 gentiobiose에서 분리한 S-2 및 G-2는 L-2의 spectrum과 대단히 유사하였다. G-1(Fig. 4c)과 S-1은 laminaribiose로 동정되었고, S-3(Fig. 4d), L-3 및 C-2는 gentiobiose로 나타났다.

Cellobiose, acetyl cellobiose, thiocellobiose, gentiobiose, thiogentiobiose, 및 sophorose는 다양한 곰팡이에서 cellulase 유도물질로 보고되었다(7,11,14,15,16,18,20,21). 이중에서 포도당의 β -1,2-결합 이당체인 sophorose는 *Trichoderma* 속에서 가장 강력한 유도물질로 알려져 있다(14,16,20). *T. reesei*의 extracellular β -glucosidase 돌연변이 균주는 cellulase를 생성하지 못하였고, sophorose를 첨가하면 cellulase 유도능이 회복됨이 보고되었다(3). 따라서 β -glucosidase는 cellulose로부터 sophorose를 생성할 것이라는 가설이 가능하였다. 또한 β -결합 이당체에 대한 permease는 sophorose에 대하여서도 작용함이 보고되었다(10). Gusakov 등(5)은 *A. foetidus*에서 분리한 β -glucosidase와 cellobio-

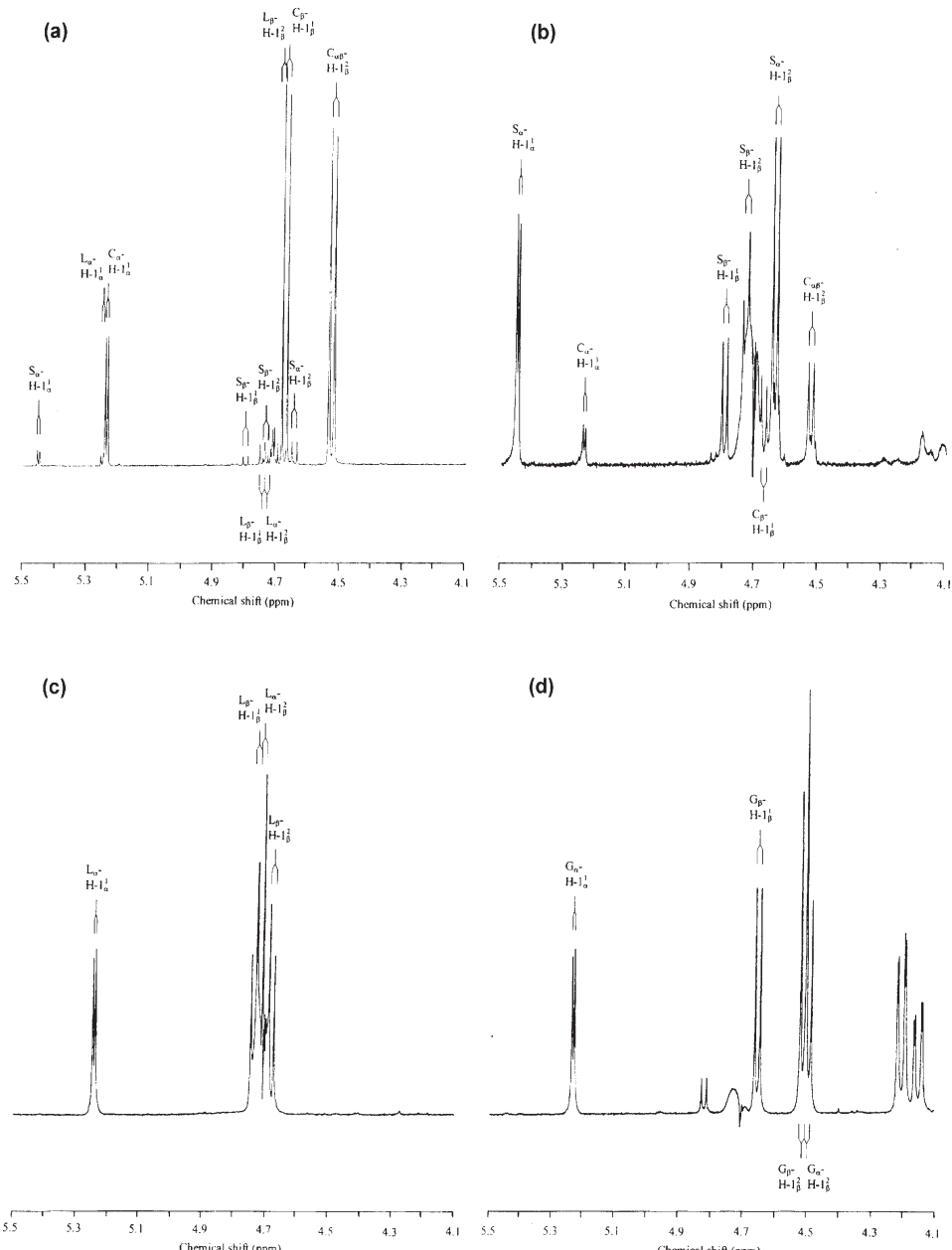


Fig. 4. ^1H -NMR spectra of the glucose dimers formed by the action of β -glucosidase. Samples: (a) C-1 from cellobiose, (b) L-2 from laminaribiose, (c) G-1 from gentiobiose, (d) S-3 from sophorose

biose를 반응시킨 후 얻은 transglycosylation 산물을 HPLC로 분석하여 gentiobiose와 isocellotriose를 분리하였다. 이러한 결과로부터 β -glucosidase에 의한 transglycosylation산물은 β -1,6-glycosidic 결합을 갖는다고 보고하였다. 본 실험의 결과에 따르면 β -1,6 결합 뿐 아니라 β -1,4, β -1,2 및 β -1,3-glycosidic 결합으로 transglycosylation에 의하여 생성됨이 확인되었다. Vaheri 등

(22)은 *T. reesei*에서 분리한 cellulase와 cellulose를 반응시킨 후 분해 산물을 GC-MASS로 분석하여 sophorose, laminaribiose 및 gentiobiose가 생성됨을 보고한 바 있다. 그러나 이들은 cellulase 복합체를 사용함으로서 cellulase 성분들 중 어느 효소가 이들 산물을 생성하는지를 밝히지 못하였다. 다른 많은 연구를 통하여 β -glucosidase의 transglycosylation 활성이 보고되었다.

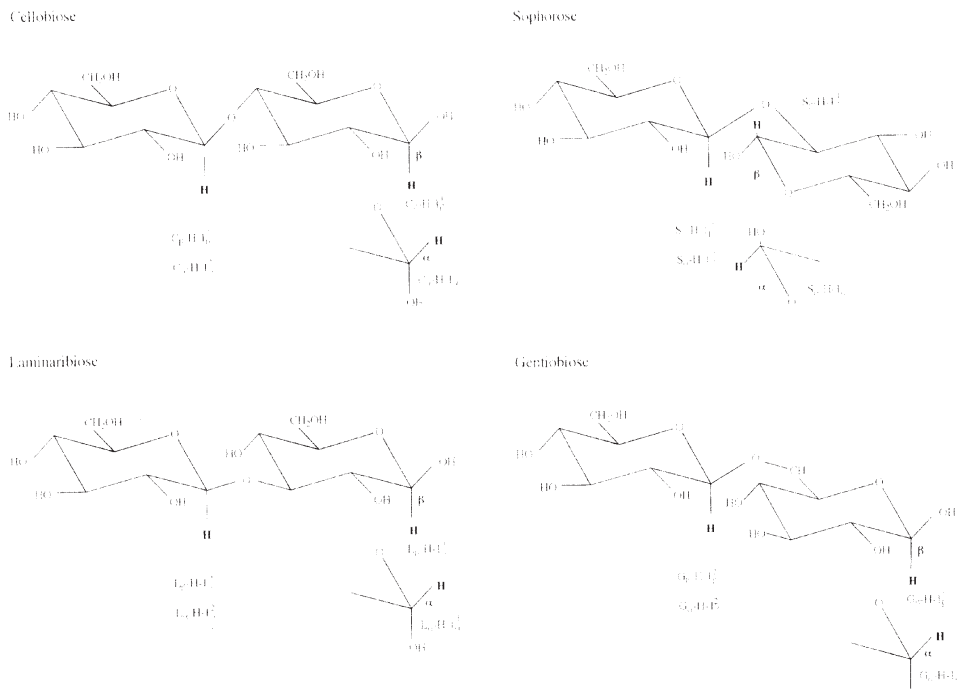


Fig. 5. The location of H-1 protons of cellobiose, sophorose, laminaribiose, and gentiobiose

Bhat 등(1)은 *Sporotrichum thermophile*에서 분리한 β -glucosidase와 cellobiose의 반응산물을 chromatography로 분석하여 사당체(tetramer)가 생성됨을 보고하였다. Cellobiose와 *S. thermophile*에서 분리한 β -glucosidase 반응산물을 TLC로 분석하여 미화인된 이당체와 삼당체들이 생성됨도 보고되었다(17). 이 외에도 많은 논문에서 β -glucosidase의 transglucosylation 산물에 대한 보고가 있었으나 산물의 정확한 구조에 대하여서는 분명히 밝혀지지 않았다.

본 실험은 *T. koningii*에서 순수분리된 β -glucosidase가 한 종류의 β -linked 이당체에서 다른 종류의 β -linked 이당체를 transglycosylation을 통하여 생성되며, 여기에는 sophorose가 포함되고 있음을 보여주고 있다.

감사의 글

본 연구는 울산대학교 이사장연구비에 의하여 수행되었습니다.

참고문헌

- Bhat, K. M., J. S. Gaikwad, and R. Maheshwari. 1993. Purification and characterization of an extracellular β -glucosidase from the thermophilic fungus *Sporotrichum thermophile* and its influence on cellulase activity. *J. Gen. Microbiol.* 139, 2825-2832.
- Bryun, A. D., M. Anteunis, and G. Verhegge. 1975. $^1\text{H-NMR}$ study of the di-glucopyranoses in D_2O . *Bull. Soc. Chim. Belg.* 84, 721-734.
- Fowler, T., and R. D. Brown Jr. 1992. The bglI gene encoding extracellular beta-glucosidase from *Trichoderma reesei* is required for rapid induction of the cellulase complex. *Mol. Microbiol.* 6, 3225-3235.
- Gum Jr., E. K., and R. D. Brown. 1977. Two alternative HPLC separation methods for reduced and normal cellooligosaccharides. *Anal. Biochem.* 82, 372-375.
- Gusakov, A. V., A. P. Sinitsyn, G. H. Goldstein, and A. A. Klyosov. 1984. Kinetics and mathematical model of hydrolysis and transglycosylation catalyzed by cellobiase. *Enzyme Microb. Technol.* 6, 227-235.
- Inglan, M., B. A. Feinberg, and J. R. Loewenberg. 1980. Partial purification and characterization of a new intracellular-glucosidase of *Trichoderma reesei*. *Biochem. J.* 185, 515-519.
- Kamagata, Y., M. Yachi, T. Kurashawa, M. Suto, H. Sasaki, S. Takao, and F. Tomita. 1991. Cellulase induction by cellobiose-octaacetate in *Penicillium purpurogenum*. *J. Ferment. Technol.* 72, 217-220.
- Kanfer, J. N., S. S. Raghavan, and R. A. Mumford. 1975. Hydrolytic and transglucosylation activities of a purified calf spleen beta-glucosidase. *Biochim. Biophys. Acta* 391, 129-140.
- Kubicek, C. P. 1983. β -glucosidase excretion in *Trichoderma* strains with different cell wall bound β -1,3-glucanase activities. *Can. J. Microbiol.* 29, 163-169.
- Kubicek, C. P., R. Messner, F. Gruber, M. Mandels, and E. M. Kubicek-Pranz. 1993. Triggering of cellulase biosynthesis by cellulose in *Trichoderma reesei*. *J. Biol. Chem.* 268, 19364-19368.
- Kurashawa, T., M. Yachi, M. Suto, Y. Kamagata, S. Takao, and F. Tomita. 1992. Induction of cellulase by gentiobiose and its sulfur-containing analog in *Penicillium purpurogenum*. *Appl. Environ. Microbiol.* 58, 106-110.

12. Kwon, K. S., J. Lee, H. G. Kang, and Y. C. Hah. 1994. Detection of β -glucosidase activity in polyacrylamide gels with esculin as substrate. *Appl. Environ. Microbiol.* 60, 4584-4586.
13. Lee, H. J., C. S. Jeong, S. O. Kang, and Y. C. Hah. 1989. $^1\text{H-NMR}$ Spectroscopic evidence on the glycosylated products of low molecular weight beta-D-glucosidase from *Trichoderma koningii*. *Kor. J. Microbiol.* 27(1), 35-42.
14. Loewenberg, J. R. 1984. Sophorose induction of an intracellular β -glucosidase in *Trichoderma*. *Arch. Microbiol.* 137, 53-57.
15. Mandels, M., and E. T. Reese. 1960. Induction of cellulase in fungi by cellobiose. *J. Bacteriol.* 79, 816-826.
16. Mandels, M., F. W. Parrish, and E. T. Reese. 1962. Sophorose as an inducer of cellulase in *Trichoderma viride*. *J. Bacteriol.* 83, 400-408.
17. Meyer, H. P., and G. Canevascini. 1981. Separation and some properties of two intracellular β -glucosidase of *Sporotrichum (Chrysosporium) thermophile*. *Appl. Environ. Microbiol.* 41, 924-931.
18. Rho, D., M. Desrochers, L. Jurasek, H. Driguez, and J. Defaye. 1982. Induction of cellulase in *Schizophyllum commune*: thiocellobiose as a new inducer. *J. Bacteriol.* 149, 47-53.
19. Schmid, G. and C. Wandrey. 1987. Purification and partial characterization of a celldextrin glucohydrolase (β -glucosidase) from *Trichoderma reesei* strain QM 9414. *Biotechnol. Bioeng.* 30, 571-585.
20. Stenberg, D., and G. R. Mandels. 1979. Induction of cellulolytic enzymes in *Trichoderma reesei* by sophorose. *J. Bacteriol.* 139, 1321-1326.
21. Sternberg, D. 1976. Production of cellulase by *Trichoderma*. *Biotechnol. Bioeng. Symp.* 6, 35-53.
22. Vaheri, M., M. Leisola, and V. Kauppinen. 1979. Transglycosylation products of cellulase system of *Trichoderma reesei*. *Biotechnol. Lett.* 1, 41-47.
23. Watanabe T, T. Sato, S. Yoshioka, T. Koshijima, and M. Kuwahara, 1992. Purification and properties of *Aspergillus niger* beta-glucosidase. *Eur. J. Biochem.* 209(2), 651-659.
24. Wood, T. M. and S. I. McCrae. 1982. Purification and some properties of the extracellular β -glucosidase of the cellulolytic fungus *Trichoderma koningii*. *J. Gen. Microb.* 128, 2973-2982.
25. Woodward, J. and A. Weisman. 1982. Fungal and other β -D-glucosidase-their properties and application. *Enz. Microb. Technol.* 4, 73-79.

(Received January 7, 2000/Accepted February 11, 2000)

ABSTRACT: The Action Mode of β -glucosidase Purified from *Trichoderma koningii*

Jeong, Choon-Soo, Ji-Young Choi, Heon-Ju Lee¹, Pil-Jae Maeng², In-Seob Han, Sa-Ouk Kang¹, and Yung-Chil Hah¹(Department of Biological Science, College of Natural Sciences, University of Ulsan, Ulsan, 680-749, Korea, ¹Department of Microbiology, College of Natural Sciences, and Research Center for Molecular Microbiology, Seoul National University, Seoul, Korea, ²Department of Microbiology, College of Natural Sciences, Chungnam National University, Taejon, Korea)

We have examined the mode of transglycosylation, catalyzed by an extracellular β -glucosidase purified from *Trichoderma koningii* ATCC 26113, using cellobiose, sophorose, laminaribiose and gentiobiose as substrates. The dimers separated from the reaction mixture by HPLC were analyzed by $^1\text{H-NMR}$ spectroscopy. When cellobiose was subjected to the action of the β -glucosidase, the products included laminaribiose, sophorose and gentiobiose. When laminaribiose, sophorose or gentiobiose was used as a substrate, the β -glucosidase accumulated transglycosylation products possessing different types of β -glycosidic linkages from the original one. The amount of dimers accumulated as reaction proceeded seemed to be dependent on the velocity of hydrolysis but not on that of formation.